

星际尘埃 $\text{HC}_{3-x}\text{NC}_x$ ($x=0 \sim 3$) 与 $\text{HC}_{5-x}\text{NC}_x$ ($x=0 \sim 5$) 分子的 DFT 研究

王进 张允武^{*} 盛六四

(中国科学技术大学国家同步辐射实验室 合肥 230026)

摘要 运用密度泛函理论(DFT)中的B3LYP方法,计算了星际尘埃 HC_3N , HC_5N 分子及它们的同分异构体的分子结构、相对稳定性、偶极矩、转动常数等。对于 $\text{HC}_{3-x}\text{NC}_x$ ($x=0 \sim 3$), HC_3N 分子比其它的异构体要稳定。将计算所得的 HC_3N , HC_2NC 的转动常数 B_0 与实际的观测值 B_0 相比较,发现两者能较好地吻合。比较 $\text{HC}_{5-x}\text{NC}_x$ ($x=0 \sim 5$) 的各同分异构体的总能量,发现 HC_5N 的相对稳定性最高,但它的偶极矩相对较低。将 HC_5N 的转动常数 B_0 的理论计算值与实际观测值进行比较,其相对标准误差仅 0.6%。

关键词 多丙炔腈, 密度泛函理论, 转动常数, 偶极矩

Study of Interstellar Medium $\text{HC}_{3-x}\text{NC}_x$ ($x=0 \sim 3$) and $\text{HC}_{5-x}\text{NC}_x$ ($x=0 \sim 5$) by Density Functional Theory

WANG, Jin ZHANG, Yun Wu^{*} SHENG, Liu Si^{*}

(National Synchrotron Radiation Laboratory, University of Science and Technology of China, Hefei 230026)

Abstract The molecular structures, relative stabilities, dipole moments and rotational constants of HC_3N , HC_5N and their isomers are calculated by B3LYP/6-311++G^{**}. In $\text{HC}_{3-x}\text{NC}_x$ ($x=0 \sim 3$), HC_3N is found to be the most stable structure. The rotational constants B_0 values of HC_3N and HC_2NC which are obtained from B3LYP/6-311++G^{**} are almost exactly in accordance with the experimental values. In $\text{HC}_{5-x}\text{NC}_x$ ($x=0 \sim 5$), HC_5N is found to be more stable than other isomers, but its dipole moment is relatively small. For the rotational constants B_0 of HC_5N , the relative standard deviation between the calculated value and the experimental value is only 0.6%.

Keywords cyanopolyacetylenes, density functional theory, rotational constant, dipole moment

自从多丙炔腈 HC_nN ($n=1, 3, 5, 7, 9, 11, \dots$)^[1~5] 在宇宙气云中被发现以来, 对于这类大的有机分子的研究日益引起人们的关注。由于这些分子在通常的实验室条件下难以稳定地存在, 因此从实验上研究它们的物性参数很困难。然而通过理论计算, 可预测这些尘埃分子的结构、能量、偶极矩、转动常数等。

Kawaguchi 等^[6] 用 45 m 的望远镜在 TMC-1 星云

中同时探测到了 HC_3N 和它的异构体 HC_2NC , C_3NH , 测定了它们的转动常数 B_0 , 并在 HF/6-31G^{*} 和 MP2/6-31G^{*} 水平上, 对它们进行了从头算, 得到了转动常数的理论计算值。

我们运用密度泛函理论, 在 B3LYP/6-311++G^{**} 水平上对 HC_3N 和 HC_5N 的所有同分异构体的分子结构和相对稳定性进行了研究, 发现多丙炔腈

* E-mail: ywzhang@ustc.edu.cn

Received February 7, 2002; revised April 15, 2002; accepted June 30, 2002.

国家自然科学基金(No. 29803008)资助项目。

系列团簇分子的结构主要以直链型为主。这种直链型的结构也在不同的团簇离子系列中都存在。Liu 等^[7]对直链构型的 C_nAl^- ($n = 1 \sim 11$) 进行优化, 计算了体系的能量。Tang 等^[8]对脉冲激光束产生的碳氮二元簇离子的结构进行推测, 认为随成簇氮原子数的增加, 它们的结构由一维直链向二维芳环转化。Liu 等^[9]应用从头计算法, 在 HF/6-31 + G* 水平上, 优化了 HC_nS^+ 和 HSC_n^+ ($n = 1 \sim 9$) 的几何构型, 发现这两类同分异构簇离子都以直链型的结构稳定存在。

1 计算方法

HC_3N 和 HC_5N 分子的所有同分异构体的几何构型首先在 HF/STO-3G 水平上优化出初步结果, 然后在 B3LYP/6-311++G** 水平上进行精确优化, 并作频率分析, 确定稳定的构型。将计算得到的转动常数与实验值进行比较, 对计算结果进行评估。全部计算使用 Gaussian 98/DFT^[10]程序, 在 Pentium 1.7 GHz 微机上完成。

2 结果和讨论

2.1 $HC_{3-x}NC_x$ ($x = 0 \sim 3$) 分子的几何构型

$HC_{3-x}NC_x$ ($x = 0 \sim 3$) 分子的稳定几何构型如图 1 所示, 根据频率分析的结果, 具有直线型结构, 其点群对称性为 C_v 的 HC_3N , HC_2NC , $HCNC_2$ 分子, 它们的振动光谱频率全为实频, 而无虚频, 说明它们的稳定结构为直线型结构。 C_3NH 分子的结构为折线型, 其点群对称性为 C_s , CNH 的键角为 140.1° ; 根据频率分析的结果, 这种结构的分子的振动光谱频率全为实频, 无虚频, 表明 C_3NH 分子是以折线型的结构稳定存在的。分析这四种稳定分子的键长参数, 发现 HC_3N 分子的碳碳键、碳氮键的键长明显不同于 C_3NH 分子碳碳键、碳氮键的键长, 说明两者之间键的分布明显不同, 因而其稳定结构也明显不同。在 HC_3N 分子中, 两个碳碳键长之差为 0.0165 nm ; 而在 C_3NH 分子中, 两个碳碳键长之差为 0.0034 nm 。可以看出前者明显要高于后者, 这表明 C_3NH 分子中的碳碳键的离域程度要大于 HC_3N 分子中的碳碳键的离域程度。 HC_3N 分子的结构倾向于单叁键交错分布, 而 C_3NH 分子的结构则倾向于双键共轭分布。对于 $HC_{3-x}NC_x$ ($x = 0 \sim 3$) 系列分子, 随着 x 的变化, 分子结构逐渐从单叁键交错分布向双键共轭分布过

渡, 氮原子是影响碳碳键离域程度的重要因素。比较 HC_3N , C_3NH 分子的前沿轨道 HOMO, HOMO-1, 从图 2, 图 3 中可以看出, 两者的成键特性不同。在 C_3NH 分子中, HOMO-1 轨道上离域键的形成也说明存在着遍及整个分子的化学键, 因而 C_3NH 的分子结构的离域程度较高。

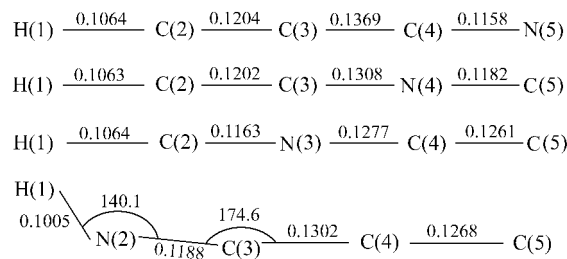


图 1 $HC_{3-x}NC_x$ ($x = 0 \sim 3$) 分子的各同分异构体的平衡几何构型 [键长: 0.1 nm , 键角: $(^\circ)$]

Figure 1 The stable structures of $HC_{3-x}NC_x$ ($x = 0 \sim 3$) molecules [bond length: 0.1 nm ; bond angle: $(^\circ)$]

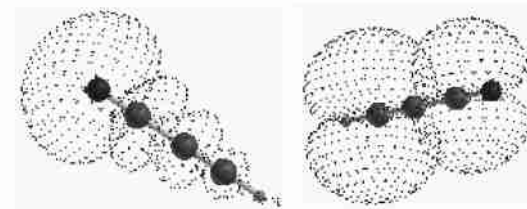


图 2 HC_3N 的 HOMO, HOMO-1 分子轨道

Figure 2 HOMO, HOMO-1 orbitals of HC_3N molecule

Kawaguchi^[6]用 HF/6-31G* 方法预测了 HCCCN 分子中碳碳叁键的键长为 0.1185 nm , 碳氮叁键的键长为 0.1136 nm ; 用 MP2/6-31G* 方法预测了 HCCCN 分子中碳碳叁键的键长为 0.1222 nm , 碳氮叁键的键长为 0.1186 nm ; 而根据我们在 B3LYP/6-311++G** 水平上计算的结果, HC_3N 分子中碳碳叁键的键长为 0.1204 nm , 碳氮叁键的键长为 0.1158 nm 。Costain 等^[11]从实验上测定了 HCCCN 分子的碳碳叁键的键长为 0.1205 nm , 碳氮叁键的键长为 0.1159 nm 。可见, 运用密度泛函理论预测分子的几何参数, 明显优于 HF, MP2 方法得到的结果, 能与实验测定值很好地吻合。

2.2 $HC_{3-x}NC_x$ ($x = 0 \sim 3$) 分子的稳定性与偶极矩

在实际的观测中, HC_3N 分子最早被 Turner^[1]等发现。随着探测技术的发展, HC_2NC , C_3NH 分子又相继被发现^[6]。Kawaguchi 等^[6]认为在 $HC_{3-x}NC_x$ (x

= 0 ~ 3) 分子中, HCCNC , C_3NH 分子的稳定性要弱于 HC_3N 分子, 在星云中存在的含量低, 其转动跃迁的谱线弱, 检测较困难。那么 $\text{HC}_{3-x}\text{NC}_x$ ($x=0 \sim 3$) 分子中的几种异构体的相对稳定性究竟如何呢? 因为分子的电子总能量是衡量其稳定性的重要标志, 我们运用 DFT 中的 B3LYP 方法计算了 $\text{HC}_{3-x}\text{NC}_x$ ($x=0 \sim 3$) 分子的几种异构体的能量。

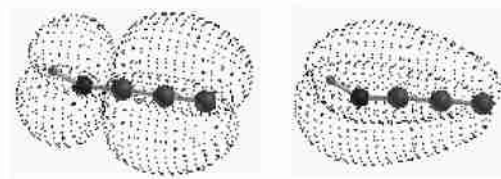


图 3 C_3NH 的 HOMO, HOMO-1 分子轨道

Figure 3 HOMO, HOMO-1 orbitals of C_3NH molecule

B3LYP/6-311 + + G^{*} 计算的结果, 如表 1 所示, 在 $\text{HC}_{3-x}\text{NC}_x$ ($x=0 \sim 3$) 中, HC_3N 分子的能量比另外几种异构体的能量要低, 而 HCNC_2 分子的能量比另外几种异构体的能量要高, 其中 HCNC_2 分子的能量比 HC_3N 分子的能量高 3.2 eV。说明 HC_3N 分子在这几种异构体中是最稳定的; 而 HCNC_2 分子的相对稳定性最差。将我们计算所得的能量值与 Kawaguchi^[6] 的结果比较, 发现尽管选择不同的计算方法所得到的电子总能量数值不同, 但这几种异构体的相对稳定性是一致的, 即相对稳定性的顺序都为 $\text{HC}_3\text{N} > \text{HC}_2\text{NC} > \text{C}_3\text{NH} > \text{HCNC}_2$ 。

分析 HC_3N , HC_2NC , HCNC_2 , C_3NH 的偶极矩, 可以看出 HC_3N , HC_2NC 两种分子的偶极矩较低, 而 HCNC_2 , C_3NH 两种分子的偶极矩较高。根据上述对 $\text{HC}_{3-x}\text{NC}_x$ ($x=0 \sim 3$) 分子中的几种异构体的相对稳定性的分析, 不难发现, 它们的偶极矩的高低与其相对稳定性的高低相反。对于目前的接收装置, 分子的偶极矩越高, 极性越强, 越容易探测。尽管 C_3NH 的

总能量比 HC_3N 的总能量高 186.95 kJ/mol, 但它的偶极矩却比 HC_3N 高 1.55 D。因此, Kawaguchi 等^[6] 在 TMC-1 星云中同时探测到了 HC_3N , C_3NH 分子。

2.3 $\text{HC}_{3-x}\text{NC}_x$ ($x=0 \sim 3$) 分子的转动常数

根据理论计算得到的丙炔腈分子的物性常数中, 目前只有转动常数可与直接观测的结果相比较, 因此转动常数 B_0 成为对计算结果进行评价的重要参数。对 HC_3N 分子, 运用 B3LYP 方法得到的转动常数 B_0 为 4581 MHz, 直接观测的转动常数 B_0 为 4549 MHz, 两者的相对标准误差仅为 0.7%; 而通过 HF/6-31G*, MP2/6-31 + G*^[6] 得到的转动常数 B_0 分别为 4605 MHz, 4467 MHz, 它们与直接观测的转动常数 B_0 之间的相对标准误差分别为 1.23%, 1.80%。对 HC_2NC 分子, 运用 B3LYP 方法得到的转动常数 B_0 为 4943 MHz, 直接观测的转动常数 B_0 为 4984 MHz, 两者的相对标准误差仅为 0.82%; 而通过 HF/6-31G*, MP2/6-31 + G*^[6] 得到的转动常数 B_0 分别为 5039 MHz, 4876 MHz, 它们与直接观测的转动常数 B_0 之间的相对标准误差分别为 1.43%, 1.85%。根据上述的分析, 可以看出, 运用 B3LYP 方法计算的结果, 要优于 HF, MP2 所取得的结果, 能与实际的观测值更好地吻合。

2.4 $\text{HC}_{5-x}\text{NC}_x$ ($x=0 \sim 5$) 分子的几何构型

在 B3LYP/6-311 + + G^{*} 水平上, 优化所得的 C_5NH , HC_5N 及它们的同分异构体的几何构型如图 4 所示。具有直线型结构, 其点群对称性为 C_v 的 HC_5N , HC_4NC , HC_3NC_2 , HC_2NC_3 , HCNC_4 分子, 它们的振动光谱频率全为实频, 而无虚频, 说明它们的稳定结构为直线型结构。 C_5NH 分子的结构为折线型, 其点群对称性为 C_s , CNH 的键角为 133.9°; 根据频率分析的结果, 这种结构的分子的振动光谱频率全为实频, 无虚频, 表明 C_5NH 分子是以折线型的结构稳定存在的。在 HC_5N 分子中, C(2) — C(3), C(4) — C(5) 之间的键长分别为 0.1208 nm, 0.1214 nm; C(3) — C(4), C(5) — C(6) 之间的键长分别为 0.1356 nm,

表 1 $\text{HC}_{3-x}\text{NC}_x$ ($x=0 \sim 3$) 分子的各同分异构体的总能量 E , 偶极矩 μ 和转动常数 B_0

Table 1 Total energies E , dipole moments μ and rotational constants B_0 for $\text{HC}_{3-x}\text{NC}_x$ ($x=0 \sim 3$) molecules

分子	E / Hartree	E / (kJ · mol ⁻¹)	B3LYP/6-311 + + G [*]		B_0 / MHz	B_0 / MHz
			μ / D	μ / D		
HC_3N	- 169.596439	0	3.92	0	4581.3	4549 ^a
HC_2NC	- 169.555371	107.87	2.96	- 0.96	4984.4	4968 ^b
HCNC_2	- 169.480169	305.41	7.19	3.92	5005.4	—
C_3NH	- 169.525275	186.95	5.47	1.55	4660.1	—

^a 取自文献[11], ^b 取自文献[12]。

0.1361 nm,因此可推测 HC_5N 的分子结构呈较明显的单参键分布。而在 C_5NH 分子中,所有的碳碳键的键长差别小,都介于标准的碳碳单键和碳碳参键的键长之间,说明它的分子结构呈现较明显的双键共轭分布。对于 $\text{HC}_{5-x}\text{NC}_x$ ($x=0 \sim 5$) 系列分子,观察碳碳键的键长,不难发现,随着 x 的变化,分子结构逐渐从单参键交错分布向双键共轭分布过渡。

在 C_5NH 分子中,不同碳碳键的键长差值平均为 0.003 nm;而在 HC_5N 分子中,不同碳碳键的键长差值平均为 0.015 nm。可以看出 C_5NH 分子的碳碳键的离域程度远高于 HC_5N 分子的碳碳键的离域程度。在 $\text{HC}_{5-x}\text{NC}_x$ ($x=1 \sim 4$) 分子中,氮原子将碳链分成两部分,每部分都有不同的离域程度,氮原子和其毗邻的碳原子所形成的碳氮键的键长明显不同。例如在 HC_4NC 分子中, $\text{C}(5)-\text{N}(6)$, $\text{N}(6)-\text{C}(7)$ 之间的键长分别为 0.1301 nm, 0.1185 nm;在 HC_3NC_2 分子中, $\text{C}(4)-\text{N}(5)$, $\text{N}(5)-\text{C}(6)$ 之间的键长分别为 0.1175 nm, 0.1271 nm;在 HC_2NC_3 分子中, $\text{C}(3)-\text{N}(4)$, $\text{N}(4)-\text{C}(5)$ 之间的键长分别为 0.1291 nm, 0.1185 nm;在 HCNC_4 分子中, $\text{C}(2)-\text{N}(3)$, $\text{N}(3)-\text{C}(4)$ 之间的键长分别为 0.1169 nm, 0.1263 nm。另外,比较 HC_5N , C_5NH 分子的前沿轨道 HOMO, HOMO-1, 从图 5, 图 6 中可以看出,两者的成键特性不同。在 C_5NH 分子中,HOMO-1 轨道上离域大,键的形成也说明存在着遍及整个分子的化学键,因而 C_5NH 的分子结构的离域程度较高。

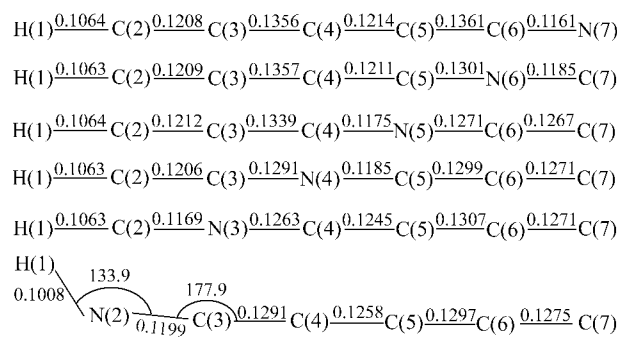


图 4 $\text{HC}_{5-x}\text{NC}_x$ ($x=0 \sim 5$) 分子的各同分异构体的平衡几何构型 [键长: 0.1 nm, 键角: (°)]

Figure 4 The stable structures of $\text{HC}_{5-x}\text{NC}_x$ ($x=0 \sim 5$) molecules [bond length: 0.1 nm; bond angle: (°)]

2.5 $\text{HC}_{5-x}\text{NC}_x$ ($x=0 \sim 5$) 分子的稳定性与偶极矩

根据 B3LYP/6-311++G** 计算的结果,在 $\text{HC}_{5-x}\text{NC}_x$ ($x=0 \sim 5$) 中,不同异构体之间的相对稳定性的顺序为 $\text{HC}_5\text{N} > \text{HC}_4\text{NC} > \text{C}_5\text{NH} > \text{HC}_2\text{NC}_3 >$

$\text{HC}_3\text{NC}_2 > \text{HCNC}_4$ 。可以看出, HC_5N 分子的相对稳定性最强,而 HCNC_4 分子的相对稳定性最弱, HCNC_4 分子的总能量比 HC_5N 分子的总能量高 3.54 eV。另外, HC_5N 分子的总能量比 C_5NH 分子的总能量低 210.26 kJ/mol,而依据前面的分析, HC_3N 的总能量比 C_3NH 的总能量低 186.95 kJ/mol。因此,可以推测,随着多丙炔腈 HC_nN 的 n 的增加, HC_nN 与 C_nNH 之间的能量间隙也在增大。这与 Silva 等^[13] 报道的结果相一致。

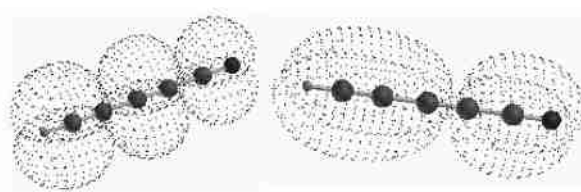


图 5 HC_5N 的 HOMO, HOMO-1 分子轨道

Figure 5 HOMO, HOMO-1 orbitals of HC_5N molecule

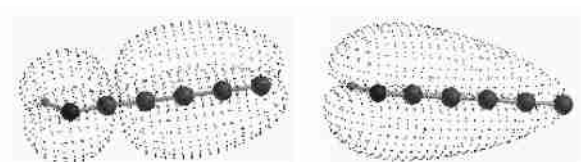


图 6 C_5NH 的 HOMO, HOMO-1 分子轨道

Figure 6 HOMO, HOMO-1 orbitals of C_5NH molecule

比较 $\text{HC}_{5-x}\text{NC}_x$ ($x=0 \sim 5$) 的不同异构体之间的偶极矩,可以看出它们大小排列的顺序为 $\text{HCNC}_4 > \text{HC}_3\text{NC}_2 > \text{C}_5\text{NH} > \text{HC}_2\text{NC}_3 > \text{HC}_5\text{N} > \text{HC}_4\text{NC}$ 。不难发现,相对稳定性较高的分子如 HC_5N , HC_4NC , 它们的偶极矩则较低;而相对稳定性较低的分子如 HCNC_4 , HC_3NC_2 的偶极矩则较高。这与前面 $\text{HC}_{5-x}\text{NC}_x$ ($x=0 \sim 3$) 分子的分析结果相一致。对于多丙炔腈 HC_nN 这类有机分子,有些异构体的相对稳定性较弱,在星云中的丰度分布较低,但它们的偶极矩较高,极性较大,转动跃迁的谱线依然能够检测到。

另外比较 HC_5N 分子和 C_5NH 的偶极矩,发现后者比前者高 2.43 D,与 $\text{C}_3\text{NH}/\text{HC}_3\text{N}$ 的偶极矩的差值 1.55 D 相比,要明显增大。因此,随着多丙炔腈 HC_nN 的 n 的增加, $\text{HC}_n\text{N}/\text{C}_n\text{NH}$ 的极性差别也越大。这种变化的趋势与前面 $\text{HC}_n\text{N}/\text{C}_n\text{NH}$ 的能量间隙的变化趋势相一致。

2.6 $\text{HC}_{5-x}\text{NC}_x$ ($x=0 \sim 5$) 分子的转动常数

通过 B3LYP/6-311++G** 计算所得的 $\text{HC}_{5-x}\text{NC}_x$ ($x=0 \sim 5$) 分子的转动常数 B_0 如表 2 所示。

表 2 $\text{HC}_{5-x}\text{NC}_x$ ($x=0 \sim 5$) 分子的各同分异构体的总能量 E , 偶极矩 μ 和转动常数 B_0 Table 2 Total energies E , dipole moments μ and rotational constants B_0 for $\text{HC}_{5-x}\text{NC}_x$ ($x=0 \sim 5$) molecules

分子	$E/\text{Hartree}$	B3LYP/6-311+ + G* *			实测值 ^a	
		$E/\text{kJ mol}^{-1}$	μ/D	μ/D	B_0/MHz	B_0/MHz
HC_5N	-245.762346	0	4.7	0	1339.3	1331.3
HC_4NC	-245.720722	109.34	3.27	-1.43	1406.8	—
HC_3NC_2	-245.648634	289.71	7.79	3.09	1452.8	—
HC_2NC_3	-245.668683	246.01	5.85	1.15	1459.4	—
HCNC_4	-245.633436	338.61	10.18	5.48	1422.3	—
C_5NH	-245.682295	210.26	7.13	2.43	1360.6	—

^a 取自文献[14].

HC_5N 分子的转动常数 B_0 的计算值为 1339.3 MHz, 而实际的观测值为 1331.3 MHz, 两者的相对标准误差仅为 0.6%. 可以看出, 计算值与实验值之间吻合得相当好, 说明运用密度泛函理论中的 B3LYP 方法预测多丙炔腈的物性常数, 具有较高的精度. Silva 等^[15]曾用 MP2/4-31G* * 计算了 HC_5N 分子的转动常数 B_0 , 理论值和实验值之间的相对标准误差为 1.38%, 需通过添加校正因子才能和实际的观测值较好地吻合. 值得注意的是, 无论是 $\text{HC}_{5-x}\text{NC}_x$ ($x=0 \sim 3$) 分子, 还是 $\text{HC}_{5-x}\text{NC}_x$ ($x=0 \sim 5$) 分子, 我们的计算值都要比实际的观测值略高. 对于 $\text{HC}_{5-x}\text{NC}_x$ ($x=0 \sim 5$) 分子的其它异构体的转动常数 B_0 , 目前还没有实验值可以和我们的计算值相比较.

References

- Turner, B. E. *Astrophys. J.* **1971**, 163, L35.
- Avery, L. W.; Broten, N. W.; Macleod, J. M.; Oka, T.; Kroto, H. W. *Astrophys. J.* **1976**, 205, L173.
- Kroto, H. W.; Kirby, C.; Walton, D. R. M. *Astrophys. J.* **1978**, 219, L133.
- Broten, N. W.; Oka, T.; Avery, L. W.; Kroto, H. W. *Astrophys. J.* **1978**, 223, L105.
- Bell, M. B.; Feldman, P. A.; Kwok, S.; Matthews, H. E. *Nature* **1982**, 295, 389.
- Kawaguchi, K.; Takano, S.; Ohishi, M. *Astrophys. J.* **1992**, 396, L49.
- Liu, Z.-Y.; Huang, R.-B.; Zheng, L.-S. *Acta Phys. - Chim. Sin.* **1997**, 13, 621 (in Chinese).
(刘朝阳, 黄荣彬, 郑兰荪, 物理化学学报, 1997, 13, 621.)
- Tang, Z.-C.; Shi, L. *Acta Chim. Sinica* **1997**, 55, 1191 (in Chinese).
(唐紫超, 石磊, 化学学报, 1997, 55, 1191.)
- Liu, Z.-Y.; Huang, R.-B.; Zheng, L.-S. *Chin. J. Chem. Phys.* **1997**, 10, 413 (in Chinese).
(刘朝阳, 黄荣彬, 郑兰荪, 化学物理学报, 1997, 10, 413.)
- Frisch, M. J.; Trucks, G. W.; Schlegel, H. B.; Scuseria, G. E.; Robb, M. A.; Cheeseman, J. R.; Zakrzewski, V. G.; Montgomery, J. A.; Stratmann, Jr., R. E.; Burant, J. C.; Dapprich, S.; Millam, J. M.; Daniels, A. D.; Kudin, K. N.; Strain, M. C.; Farkas, O.; Tomasi, J.; Barone, V.; Cossi, M.; Cammi, R.; Mennucci, B.; Pomelli, C.; Adamo, C.; Clifford, S.; Ochterski, J.; Petersson, G. A.; Ayala, P. Y.; Cui, Q.; Morokuma, K.; Malick, D. K.; Rabuck, A. D.; Raghavachari, K.; Foresman, J. B.; Cioslowski, J.; Ortiz, J. V.; Baboul, A. G.; Stefanov, B. B.; Liu, G.; Liashenko, A.; Piskorz, P.; Komaromi, I.; Comperts, R.; Martin, R. L.; Fox, D. J.; Keith, T.; Al-Laham, M. A.; Peng, C. Y.; Nanayakkara, A.; Gonzalez, C.; Challacombe, P. M.; Gill, M. W.; Johnson, B.; Chen, W.; Wong, M. W.; Andres, J. L.; Gonzalez, C.; Head-Gordon, M. E.; Replogle, S.; Pople, J. A. *Gaussian* 98, Gaussian Inc., Pittsburgh PA, 1998.
- Costain, C. C. *J. Chem. Phys.* **1958**, 29, 864.
- Krämer, M.; Dreizler, H.; Preugschat, D.; Lentz, D. *Angew. Chem.* **1991**, 103, 1674.
- Da Silva, J. B. P.; Neto, B. B.; Ramos, M. N. *J. Mol. Struct. (Theochem)* **1997**, 389, 279.
- Mallinson, P. D.; De Zafra, R. L. *Mol. Phys.* **1978**, 36, 827.
- Da Silva, J. B. P.; Neto, B. B.; Ramos, M. N. *J. Mol. Struct. (Theochem)* **1994**, 315, 213.

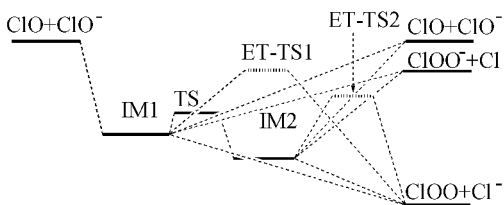
Study of Interstellar Medium $\text{HC}_{3-x}\text{NC}_x$ ($x = 0 \sim 3$) and $\text{HC}_{5-x}\text{NC}_x$ ($x = 0 \sim 5$) by Density Functional Theory

WANG, Jin; ZHANG, Yun-Wu; SHENG, Liu-Si

Acta Chimica Sinica 2002, 60(11), 1981

The molecular structures, relative stabilities, dipole moments and rotational constants of HC_3N , HC_5N and their isomers are calculated by B3LYP/6-311+ + G**. In $\text{HC}_{3-x}\text{NC}_x$ ($x = 0 \sim 3$), HC_3N is found to be the most stable structure. The rotational constants B_0 values of HC_3N and HC_2NC which are obtained from B3LYP/6-311+ + G** are almost exactly in accordance with the experimental values. In $\text{HC}_{5-x}\text{NC}_x$ ($x = 0 \sim 5$), HC_5N is found to be more stable than other isomers, but its dipole moment is relatively small. For the rotational constants B_0 of HC_5N , the relative standard deviation between the calculated value and the experimental value is only 0.6%.

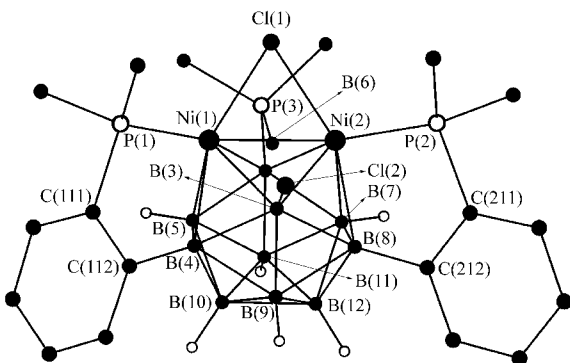
Studies on Structural Properties and Reaction Pathways of ClO/ClO^- Coupling System



Reaction pathways and state-state correlation of the ClO/ClO^- system

YAN, Shi-Hai; BU, Yu-Xiang; HAN, Ke-Li
Acta Chimica Sinica 2002, 60(11), 1986

Synthesis and Crystal Structure of *closo* Twelve-vertex Cluster $[(\mu-\text{Cl})(\text{Ph}_2\text{PC}_6\text{H}_4)_2\text{Ni}_2\text{B}_{10}\text{H}_6\text{O}(\text{PPPh}_3)]$

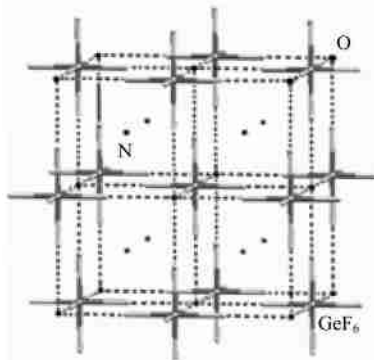


DOU, Jian-Min; HU, Chun-Hua; YAO, Hai-Jun; LI, Yue-Sheng; JIN, Ru-Shui; ZHENG, Pei-Ju

Acta Chimica Sinica 2002, 60(11), 1993

The cluster possesses *closo* twelve-vertex configuration and has two *ortho*-cycloboronated $\text{Ni}-\text{P}-\text{C}-\text{C}-\text{B}$ five-membered rings. There is a Cl-bridge between two Ni atoms. The structure analysis shows that the cyclization can strengthen the nickel-to-boron bonding.

Solvothermal Synthesis and Crystal Structure of a High Symmetric Supermolecular Fluorogermanate (NH_4^+)₂ $\text{GeF}_6 \cdot \text{H}_2\text{O}$



CHEN, Yan-Min; WANG, Shu-Tao; WANG, Er-Bo

Acta Chimica Sinica 2002, 60(11), 1999

the grids. GeF_6^{2-} octahedra has high O_h symmetry.

The compound belongs to cubical system, space group $Fm\bar{3}m$, $a = 0.9118(2)$ nm, $\alpha = 90^\circ$, $Z = 1$. The bond length of $\text{Ge}-\text{F}$ is 0.1867(9) nm and the bond angle of $\text{F}-\text{Ge}-\text{F}$ is 90.0° or 180° , respectively. The GeF_6^{2-} and H_2O connected 3-D grid-shaped network through $\text{F} \cdots \text{H}-\text{O}$ hydrogen bonds. NH_4^+ cations locate in the center of